

Fig. 1.165. Spatial distribution of maximum annual cumulative duration of heat waves/warm spells detected based on 32.5 °C threshold

Distribuția spațială a duratei cumulate maxime anuale a valurilor de căldură/periodelor calde detectate pe baza pragului de 32,5 °C

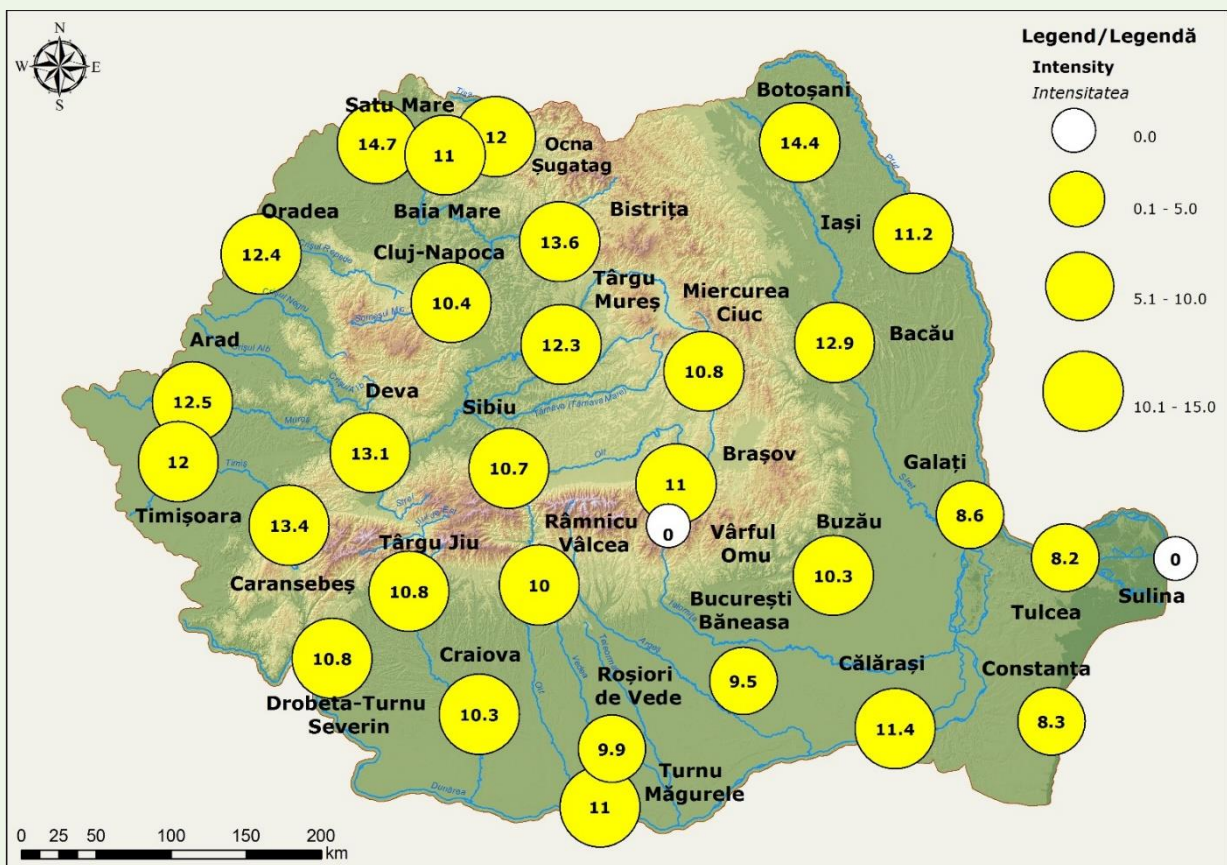


Fig. 1.166. Spatial distribution of maximum annual intensity of heat waves/warm spells detected based on 32.5 °C threshold

Distribuția spațială a intensității maxime anuale a valurilor de căldură/periodelor calde detectate pe baza pragului de 32,5 °C

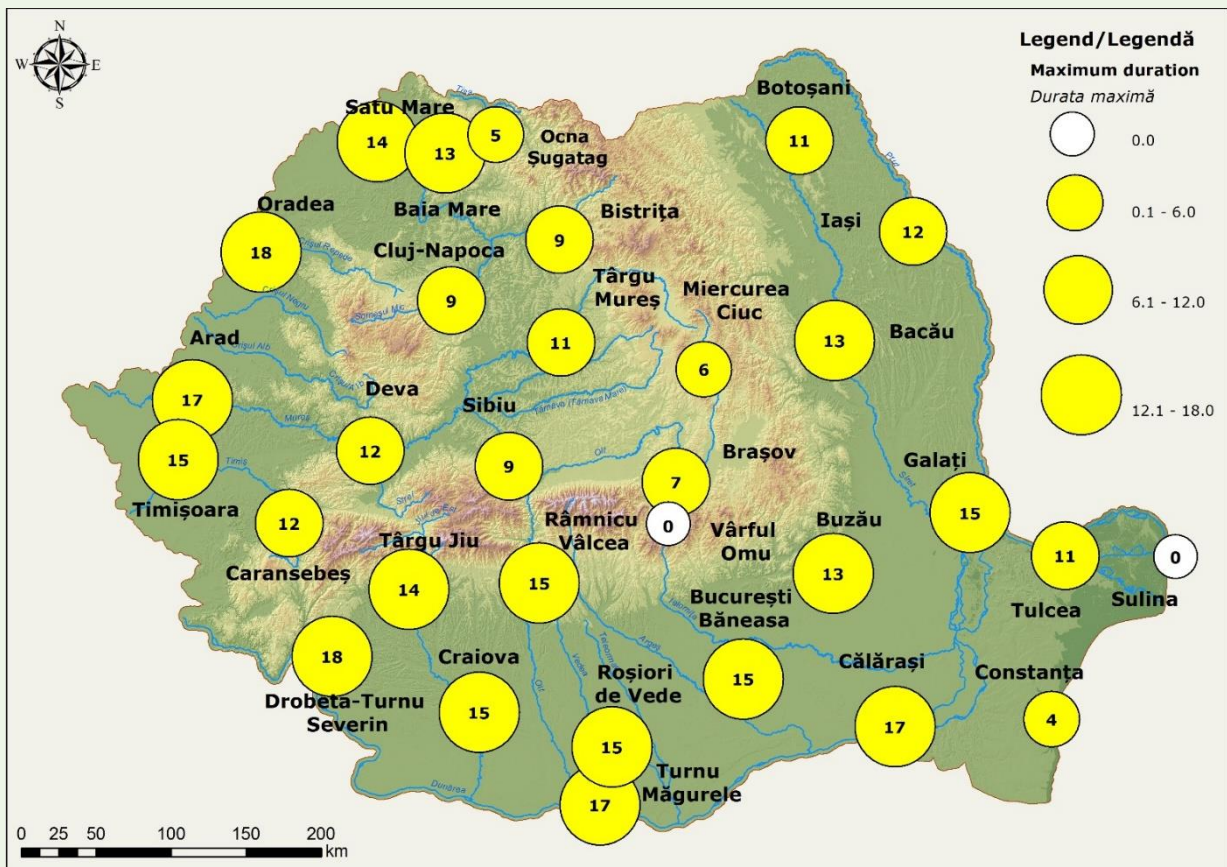


Fig. 1.167. Spatial distribution of maximum annual duration of heat waves/warm spells detected based on 32.5 °C threshold
Distribuția spațială a duratei maxime anuale a valurilor de căldură/periodelor calde detectate pe baza pragului de 32,5 °C

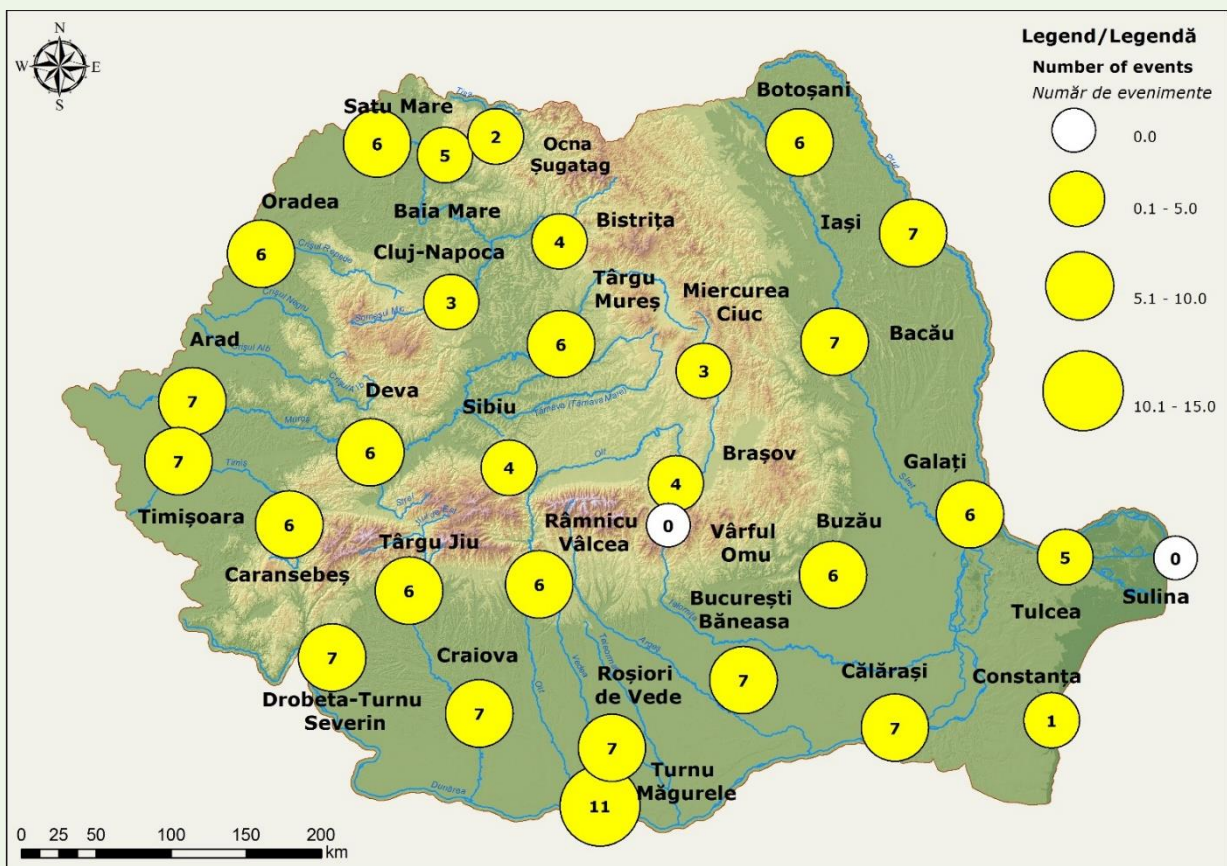


Fig. 1.168. Spatial distribution of maximum annual number of heat waves/warm spells detected based on 32.5 °C threshold
Distribuția spațială a numărului maxim anual al valurilor de căldură/periodelor calde detectate pe baza pragului de 32,5 °C

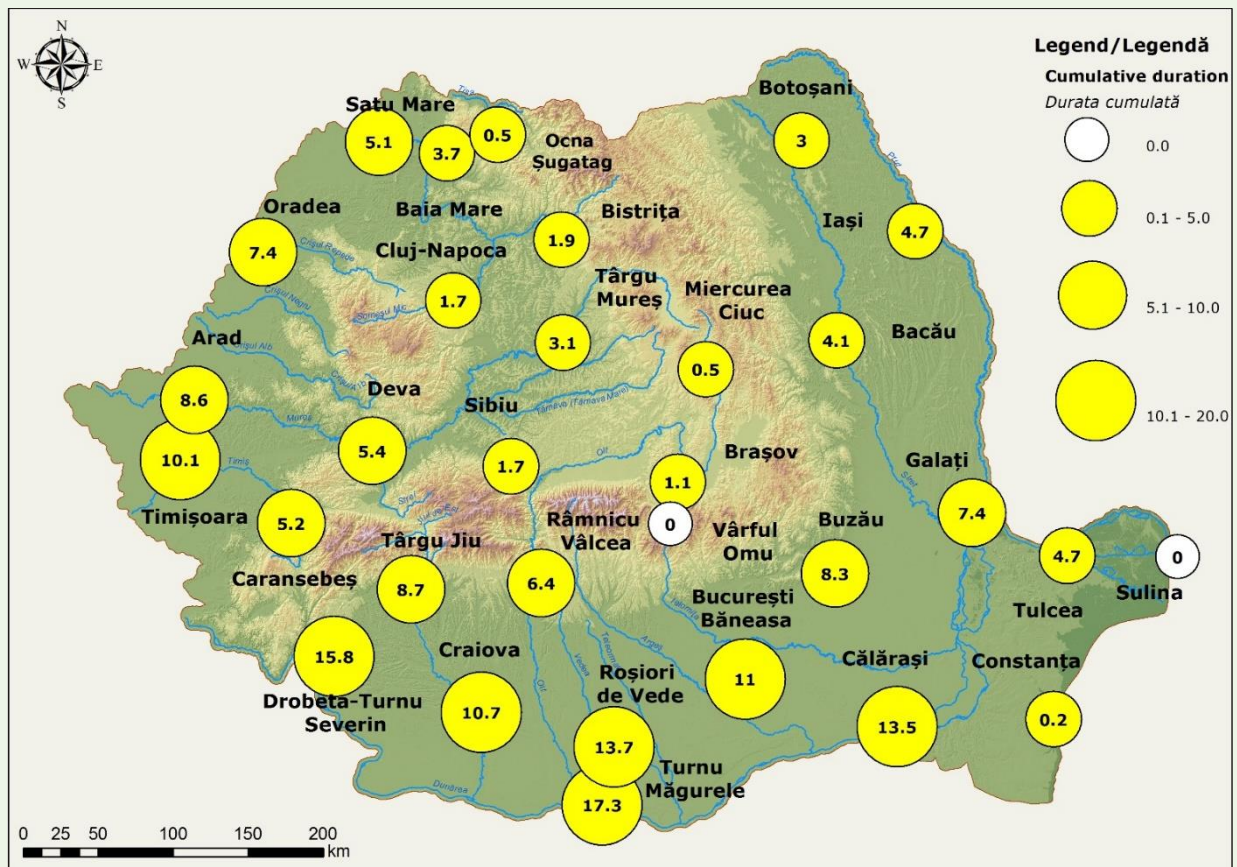


Fig. 1.169. Spatial distribution of mean annual cumulative duration of heat waves/warm spells detected based on 32.5 °C threshold

Distribuția spațială a duratei cumulate medii anuale a valorilor de căldură/periodelor calde detectate pe baza pragului de 32,5 °C

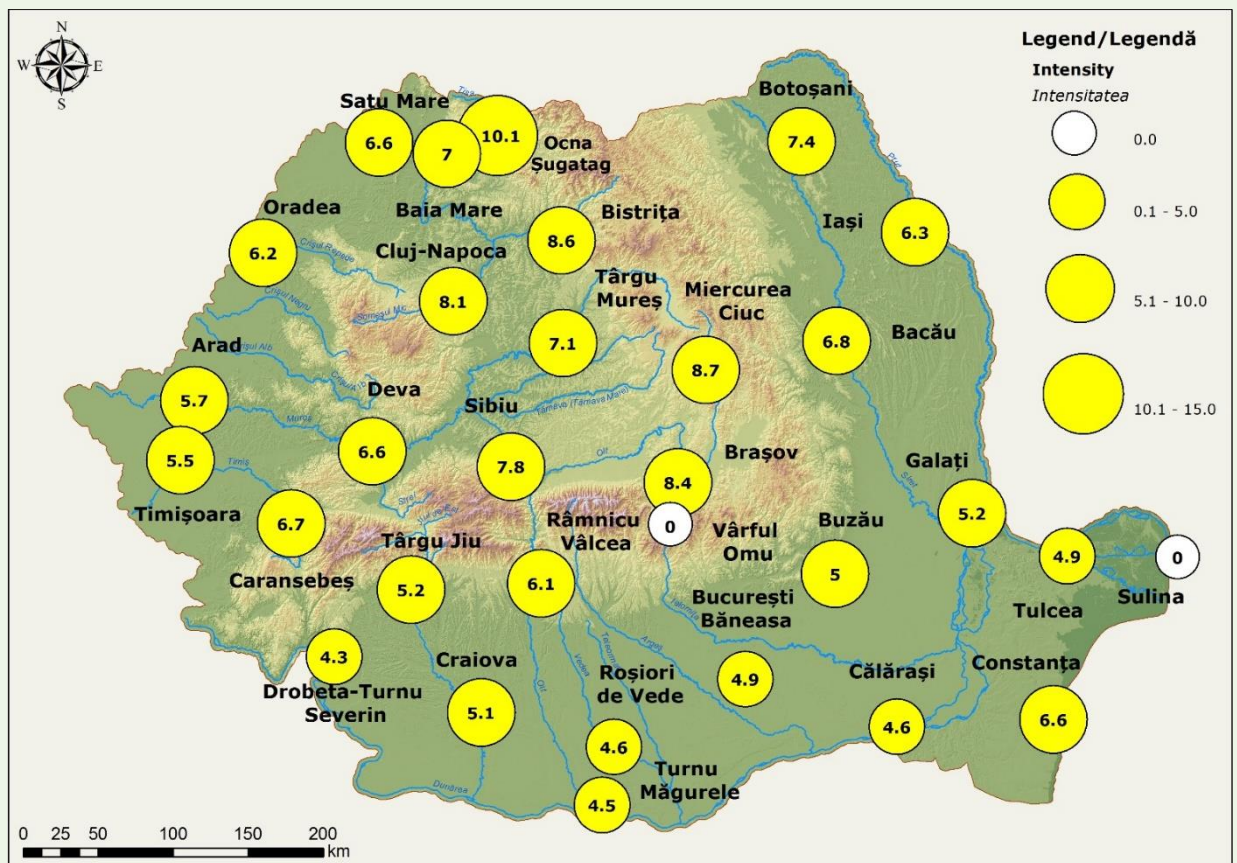


Fig. 1.170. Spatial distribution of mean annual intensity of heat waves/warm spells detected based on 32.5 °C threshold

Distribuția spațială a intensității medii anuale a valorilor de căldură/periodelor calde detectate pe baza pragului de 32,5 °C

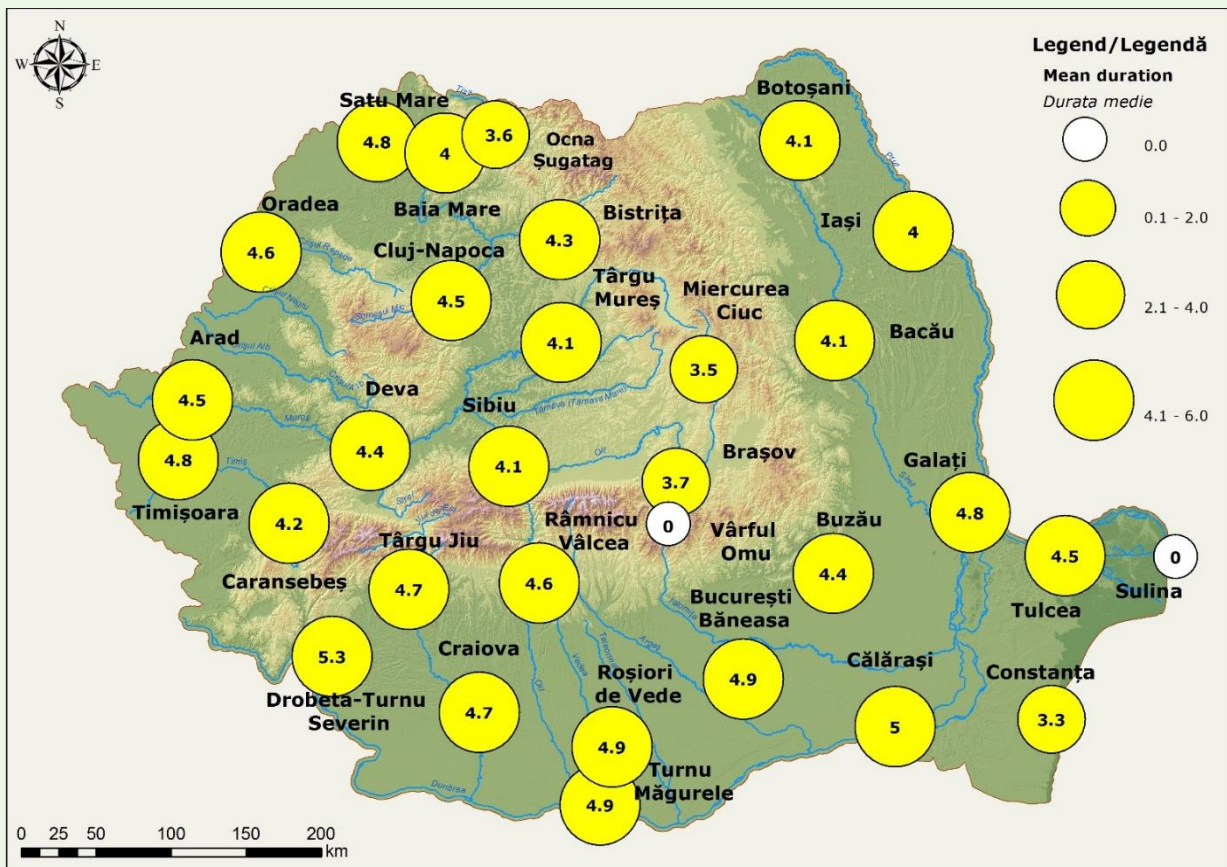


Fig. 1.171. Spatial distribution of mean annual duration of heat waves/warm spells detected based on 32.5 °C threshold
 Distribuția spațială a duratei medii anuale a valurilor de căldură/perioadelor calde detectate pe baza pragului de 32,5 °C

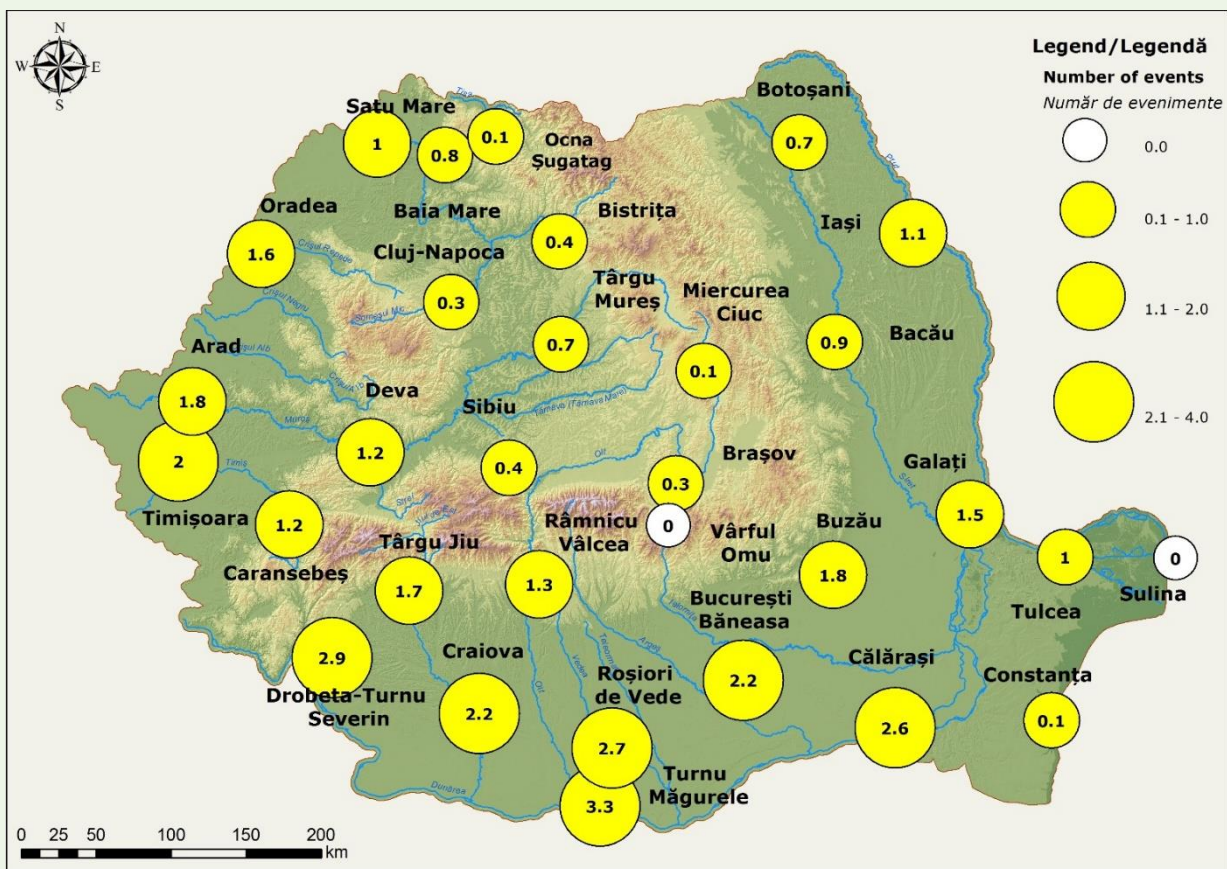


Fig. 1.172. Spatial distribution of mean annual number of heat waves/warm spells detected based on 32.5 °C threshold
 Distribuția spațială a numărului mediu anual al valurilor de căldură/perioadelor calde detectate pe baza pragului de 32,5 °C